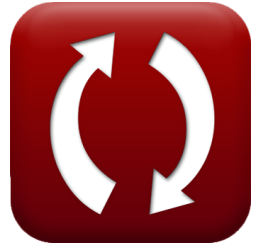




calculatoratoz.com



unitsconverters.com

Design gegen schwankende Belastung Formeln

Rechner!

Beispiele!

Konvertierungen!

Lesezeichen calculatoratoz.com, unitsconverters.com

Größte Abdeckung von Rechnern und wächst - **30.000+ Rechner!**
Rechnen Sie mit einer anderen Einheit für jede Variable - **Eingebaute Einheitenumrechnung!**

Größte Sammlung von Maßen und Einheiten - **250+ Messungen!**

Fühlen Sie sich frei, dieses Dokument mit Ihren Freunden zu **TEILEN!**

[Bitte hinterlassen Sie hier Ihr Rückkoppelung...](#)



Liste von 61 Design gegen schwankende Belastung Formeln

Design gegen schwankende Belastung ↗

Ungefähr Schätzung der Lebensdauergrenze im Design ↗

1) Belastungsgrenze der rotierenden Balkenprobe aus Aluminiumgusslegierungen ↗

fx $S'_e = 0.3 \cdot \sigma_{ut}$

Rechner öffnen ↗

ex $132\text{N/mm}^2 = 0.3 \cdot 440\text{N/mm}^2$

2) Belastungsgrenzspannung von rotierenden Trägerproben aus Aluminiumlegierungen ↗

fx $S'_e = 0.4 \cdot \sigma_{ut}$

Rechner öffnen ↗

ex $176\text{N/mm}^2 = 0.4 \cdot 440\text{N/mm}^2$

3) Dauerhaltbarkeit von rotierenden Strahlproben aus Stahl ↗

fx $S'_e = 0.5 \cdot \sigma_{ut}$

Rechner öffnen ↗

ex $220\text{N/mm}^2 = 0.5 \cdot 440\text{N/mm}^2$



4) Dauerhaltbarkeitsgrenze der rotierenden Strahlprobe

fx $S'_e = \frac{S_e}{K_b \cdot K_d \cdot K_c \cdot K_a}$

Rechner öffnen 

ex $215.5234 \text{ N/mm}^2 = \frac{51 \text{ N/mm}^2}{0.85 \cdot 0.34 \cdot 0.89 \cdot 0.92}$

5) Dauerhaltbarkeitsgrenze für axiale Belastung

fx $S_{ea} = 0.8 \cdot S_e$

Rechner öffnen 

ex $40.8 \text{ N/mm}^2 = 0.8 \cdot 51 \text{ N/mm}^2$

6) Dauerhaltbarkeitsgrenze gegebene Dauerhaltbarkeitsgrenze für axiale Belastung

fx $S_e = \frac{S_{ea}}{0.8}$

Rechner öffnen 

ex $52.5 \text{ N/mm}^2 = \frac{42 \text{ N/mm}^2}{0.8}$

7) Ermüdungsbelastungskonzentrationsfaktor gegebener Modifikationsfaktor

fx $k_f = \frac{1}{K_d}$

Rechner öffnen 

ex $2.941176 = \frac{1}{0.34}$



8) Ermüdungsgrenzspannung von rotierenden Balkenproben aus Gusseisen oder Stählen ↗

fx $S'_e = 0.4 \cdot \sigma_{ut}$

[Rechner öffnen ↗](#)

ex $176\text{N/mm}^2 = 0.4 \cdot 440\text{N/mm}^2$

9) Größenfaktor für schwankende Last ↗

fx $K_b = \frac{S_e}{S'_e \cdot K_d \cdot K_c \cdot K_a}$

[Rechner öffnen ↗](#)

ex $0.832704 = \frac{51\text{N/mm}^2}{220\text{N/mm}^2 \cdot 0.34 \cdot 0.89 \cdot 0.92}$

10) Haltbarkeitsgrenze der Probe ↗

fx $S_e = K_a \cdot K_b \cdot K_c \cdot K_d \cdot S'_e$

[Rechner öffnen ↗](#)

ex $52.0593\text{N/mm}^2 = 0.92 \cdot 0.85 \cdot 0.89 \cdot 0.34 \cdot 220\text{N/mm}^2$

11) Modifizierender Faktor für schwankende Belastung bei gegebenem Ermüdungsspannungskonzentrationsfaktor ↗

fx $K_d = \frac{1}{k_f}$

[Rechner öffnen ↗](#)

ex $0.465116 = \frac{1}{2.15}$



12) Modifizierender Faktor zur Berücksichtigung der Spannungskonzentration ↗

fx $K_d = \frac{S_e}{S'_e \cdot K_a \cdot K_b \cdot K_c}$

[Rechner öffnen ↗](#)

ex $0.333082 = \frac{51\text{N/mm}^2}{220\text{N/mm}^2 \cdot 0.92 \cdot 0.85 \cdot 0.89}$

13) Oberflächenbeschaffenheitsfaktor der Probe ↗

fx $K_a = \frac{S_e}{S'_e \cdot K_b \cdot K_c \cdot K_d}$

[Rechner öffnen ↗](#)

ex $0.90128 = \frac{51\text{N/mm}^2}{220\text{N/mm}^2 \cdot 0.85 \cdot 0.89 \cdot 0.34}$

14) Spannungsamplitude für schwankende Last bei maximaler Spannung und minimaler Spannung ↗

fx $\sigma_a = \frac{\sigma_{\max \text{ fl}} - \sigma_{\min \text{ fl}}}{2}$

[Rechner öffnen ↗](#)

ex $30\text{N/mm}^2 = \frac{95\text{N/mm}^2 - 35\text{N/mm}^2}{2}$



15) Zuverlässigkeitsfaktor für schwankende Last

fx $K_c = \frac{S_e}{S'_e \cdot K_d \cdot K_a \cdot K_b}$

[Rechner öffnen !\[\]\(d3fb9f94af8b26d1c844efa9a98805b0_img.jpg\)](#)

ex $0.87189 = \frac{51\text{N/mm}^2}{220\text{N/mm}^2 \cdot 0.34 \cdot 0.92 \cdot 0.85}$

Kerbempfindlichkeit für schwankende Lasten

16) Ermüdungsspannungskonzentrationsfaktor bei gegebenem Kerbempfindlichkeitsfaktor

fx $k_f = 1 + q \cdot (k_t - 1)$

[Rechner öffnen !\[\]\(73002692dd5e7a64e60946be3158e719_img.jpg\)](#)

ex $2 = 1 + 0.5 \cdot (3 - 1)$

17) Ermüdungsstress-Konzentrationsfaktor

fx $k_f = \frac{S_{e_{nf}}}{S_{e_n}}$

[Rechner öffnen !\[\]\(104fbf564e2e5a8fbd84f31656d114c7_img.jpg\)](#)

ex $2.277778 = \frac{205\text{N/mm}^2}{90\text{N/mm}^2}$



18) Kerbempfindlichkeitsfaktor ↗

fx
$$q = \frac{\sigma_{an}}{\sigma_{tn}}$$

[Rechner öffnen ↗](#)

ex
$$0.727273 = \frac{80\text{N/mm}^2}{110\text{N/mm}^2}$$

19) Kerbempfindlichkeitsfaktor bei gegebenem Ermüdungsspannungskonzentrationsfaktor ↗

fx
$$q = \frac{k_f - 1}{k_t - 1}$$

[Rechner öffnen ↗](#)

ex
$$0.575 = \frac{2.15 - 1}{3 - 1}$$

20) Theoretische Spannung für schwankende Last ↗

fx
$$\sigma = \sigma_o \cdot k_t$$

[Rechner öffnen ↗](#)

ex
$$75\text{N/mm}^2 = 25\text{N/mm}^2 \cdot 3$$



Söderberg- und Goodman-Linien ↗

21) Amplitudenspannung der Goodman-Linie ↗

fx $\sigma_a = S_e \cdot \left(1 - \frac{\sigma_m}{\sigma_{ut}} \right)$

[Rechner öffnen ↗](#)

ex $45.20455 \text{ N/mm}^2 = 51 \text{ N/mm}^2 \cdot \left(1 - \frac{50 \text{ N/mm}^2}{440 \text{ N/mm}^2} \right)$

22) Belastungsgrenze der Söderberg-Linie ↗

fx $S_e = \frac{\sigma_a}{1 - \frac{\sigma_m}{\sigma_{yt}}}$

[Rechner öffnen ↗](#)

ex $72.85714 \text{ N/mm}^2 = \frac{30 \text{ N/mm}^2}{1 - \frac{50 \text{ N/mm}^2}{85 \text{ N/mm}^2}}$

23) Goodman Line Endurance Limit ↗

fx $S_e = \frac{\sigma_a}{1 - \frac{\sigma_m}{\sigma_{ut}}}$

[Rechner öffnen ↗](#)

ex $33.84615 \text{ N/mm}^2 = \frac{30 \text{ N/mm}^2}{1 - \frac{50 \text{ N/mm}^2}{440 \text{ N/mm}^2}}$



24) Grenzwert der Mittelspannung

fx $S_m = f_s \cdot \sigma_m$

[Rechner öffnen !\[\]\(71ceb62b681518c82e95d615e7265d66_img.jpg\)](#)

ex $100\text{N/mm}^2 = 2 \cdot 50\text{N/mm}^2$

25) Grenzwert der Spannungsamplitude

fx $S_a = f_s \cdot \sigma_a$

[Rechner öffnen !\[\]\(fc3a57079704ef1b99671c8cafae23be_img.jpg\)](#)

ex $60\text{N/mm}^2 = 2 \cdot 30\text{N/mm}^2$

26) Mittlere Spannung der Goodman-Linie

fx $\sigma_m = \sigma_{ut} \cdot \left(1 - \frac{\sigma_a}{S_e} \right)$

[Rechner öffnen !\[\]\(d5831b2ac75eb48b4c49d27e61d24c03_img.jpg\)](#)

ex $181.1765\text{N/mm}^2 = 440\text{N/mm}^2 \cdot \left(1 - \frac{30\text{N/mm}^2}{51\text{N/mm}^2} \right)$

27) Söderberg-Linie Mittlere Spannung

fx $\sigma_m = \sigma_{yt} \cdot \left(1 - \frac{\sigma_a}{S_e} \right)$

[Rechner öffnen !\[\]\(e97636a3328cdaccd5ffd8fe3bc69ce6_img.jpg\)](#)

ex $35\text{N/mm}^2 = 85\text{N/mm}^2 \cdot \left(1 - \frac{30\text{N/mm}^2}{51\text{N/mm}^2} \right)$



28) Söderberg-Linien-Amplitudenspannung ↗

fx $\sigma_a = S_e \cdot \left(1 - \frac{\sigma_m}{\sigma_{yt}} \right)$

[Rechner öffnen ↗](#)

ex $21\text{N/mm}^2 = 51\text{N/mm}^2 \cdot \left(1 - \frac{50\text{N/mm}^2}{85\text{N/mm}^2} \right)$

29) Steigung der Linie OE im modifizierten Goodman-Diagramm bei gegebener Biegeamplitude und mittlerem Biegemoment ↗

fx $m = \frac{M_{ba}}{M_{bm}}$

[Rechner öffnen ↗](#)

ex $1.5 = \frac{1800\text{N*mm}}{1200\text{N*mm}}$

30) Steigung der Linie OE im modifizierten Goodman-Diagramm bei gegebener Kraftamplitude und mittlerer Kraft ↗

fx $m = \frac{P_a}{P_m}$

[Rechner öffnen ↗](#)

ex $0.342105 = \frac{26\text{N}}{76\text{N}}$



31) Steigung der Linie OE im modifizierten Goodman-Diagramm bei gegebener Spannungssamplitude und mittlerer Spannung ↗

fx $m = \frac{\sigma_a}{\sigma_m}$

[Rechner öffnen ↗](#)

ex $0.6 = \frac{30\text{N/mm}^2}{50\text{N/mm}^2}$

32) Ultimative Zugfestigkeit der Goodman-Linie ↗

fx $\sigma_{ut} = \frac{\sigma_m}{1 - \frac{\sigma_a}{S_e}}$

[Rechner öffnen ↗](#)

ex $121.4286\text{N/mm}^2 = \frac{50\text{N/mm}^2}{1 - \frac{30\text{N/mm}^2}{51\text{N/mm}^2}}$

33) Zugfestigkeit der Söderberg-Linie ↗

fx $\sigma_{yt} = \frac{\sigma_m}{1 - \frac{\sigma_a}{S_e}}$

[Rechner öffnen ↗](#)

ex $121.4286\text{N/mm}^2 = \frac{50\text{N/mm}^2}{1 - \frac{30\text{N/mm}^2}{51\text{N/mm}^2}}$



34) Zulässige mittlere Spannung bei schwankender Belastung ↗

fx $\sigma_m = \frac{S_m}{f_s}$

[Rechner öffnen ↗](#)

ex $28.5 \text{ N/mm}^2 = \frac{57 \text{ N/mm}^2}{2}$

35) Zulässige Spannungsamplitude bei schwankender Belastung ↗

fx $\sigma_a = \frac{S_a}{f_s}$

[Rechner öffnen ↗](#)

ex $57 \text{ N/mm}^2 = \frac{114 \text{ N/mm}^2}{2}$

Spannungskonzentrationsfaktoren im Design ↗

36) Breite der Wellen-Passfedernut bei gegebenem Verhältnis der Torsionsfestigkeit der Welle mit Passfedernut zur Welle ohne Passfedernut ↗

fx $b_k = 5 \cdot d \cdot \left(1 - C - 1.1 \cdot \frac{h}{d} \right)$

[Rechner öffnen ↗](#)

ex $5 \text{ mm} = 5 \cdot 45 \text{ mm} \cdot \left(1 - 0.88 - 1.1 \cdot \frac{4 \text{ mm}}{45 \text{ mm}} \right)$



37) Durchmesser der Welle bei gegebenem Verhältnis der Torsionsfestigkeit der Welle mit Passfedernut zu der Welle ohne Passfedernut ↗

fx
$$d = \frac{0.2 \cdot b_k + 1.1 \cdot h}{1 - C}$$

[Rechner öffnen ↗](#)

ex
$$45\text{mm} = \frac{0.2 \cdot 5\text{mm} + 1.1 \cdot 4\text{mm}}{1 - 0.88}$$

38) Höchster Wert der tatsächlichen Spannung nahe der Diskontinuität ↗

fx
$$\sigma a_{\max} = k_f \cdot \sigma_o$$

[Rechner öffnen ↗](#)

ex
$$53.75\text{N/mm}^2 = 2.15 \cdot 25\text{N/mm}^2$$

39) Höhe der Wellen-Passfedernut bei gegebenem Verhältnis der Torsionsfestigkeit der Welle mit Passfedernut zur Welle ohne Passfedernut ↗

fx
$$h = \frac{d}{1.1} \cdot \left(1 - C - 0.2 \cdot \frac{b_k}{d} \right)$$

[Rechner öffnen ↗](#)

ex
$$4\text{mm} = \frac{45\text{mm}}{1.1} \cdot \left(1 - 0.88 - 0.2 \cdot \frac{5\text{mm}}{45\text{mm}} \right)$$



40) Mittlere Spannung bei schwankender Belastung ↗

fx $\sigma_m = \frac{\sigma_{\max} + \sigma_{\min}}{2}$

[Rechner öffnen ↗](#)

ex $110 \text{ N/mm}^2 = \frac{180 \text{ N/mm}^2 + 40 \text{ N/mm}^2}{2}$

41) Theoretischer Spannungskonzentrationsfaktor ↗

fx $k_t = \frac{\sigma a_{\max}}{\sigma_o}$

[Rechner öffnen ↗](#)

ex $2.48 = \frac{62 \text{ N/mm}^2}{25 \text{ N/mm}^2}$

42) Theoretischer Spannungskonzentrationsfaktor für elliptische Risse ↗

fx $k_t = 1 + \frac{a_e}{b_e}$

[Rechner öffnen ↗](#)

ex $3.133333 = 1 + \frac{32 \text{ mm}}{15 \text{ mm}}$

43) Verhältnis der Torsionsfestigkeit der Welle mit Passfedernut zur Welle ohne Passfedernut ↗

fx $C = 1 - 0.2 \cdot \frac{b_k}{d} - 1.1 \cdot \frac{h}{d}$

[Rechner öffnen ↗](#)

ex $0.88 = 1 - 0.2 \cdot \frac{5 \text{ mm}}{45 \text{ mm}} - 1.1 \cdot \frac{4 \text{ mm}}{45 \text{ mm}}$



Flache Platte gegen schwankende Belastungen ↗

44) Belastung einer flachen Platte mit Schulterkehle bei gegebener Nennspannung ↗

fx $P = \sigma_o \cdot d_o \cdot t$

[Rechner öffnen ↗](#)

ex $8750\text{N} = 25\text{N/mm}^2 \cdot 35\text{mm} \cdot 10\text{mm}$

45) Dicke der flachen Platte mit Schulterkehle bei Nennspannung ↗

fx $t = \frac{P}{\sigma_o \cdot d_o}$

[Rechner öffnen ↗](#)

ex $10\text{mm} = \frac{8750\text{N}}{25\text{N/mm}^2 \cdot 35\text{mm}}$

46) Hauptachse des elliptischen Risslochs in einer flachen Platte bei gegebenem theoretischen Spannungskonzentrationsfaktor ↗

fx $a_e = b_e \cdot (k_t - 1)$

[Rechner öffnen ↗](#)

ex $30\text{mm} = 15\text{mm} \cdot (3 - 1)$

47) Kleinere Breite der flachen Platte mit Schulterkehle bei Nennspannung ↗

fx $d_o = \frac{P}{\sigma_o \cdot t}$

[Rechner öffnen ↗](#)

ex $35\text{mm} = \frac{8750\text{N}}{25\text{N/mm}^2 \cdot 10\text{mm}}$



48) Nebenachse eines elliptischen Risslochs in einer flachen Platte bei gegebenem theoretischen Spannungskonzentrationsfaktor ↗

fx $b_e = \frac{a_e}{k_t - 1}$

[Rechner öffnen ↗](#)

ex $16\text{mm} = \frac{32\text{mm}}{3 - 1}$

49) Nennzugspannung in einer flachen Platte mit Schulterverrundung ↗

fx $\sigma_o = \frac{P}{d_o \cdot t}$

[Rechner öffnen ↗](#)

ex $25\text{N/mm}^2 = \frac{8750\text{N}}{35\text{mm} \cdot 10\text{mm}}$

Rechteckige Platte gegen wechselnde Belastungen ↗

50) Belastung einer rechteckigen Platte mit Querloch bei gegebener Nennspannung ↗

fx $P = \sigma_o \cdot (w - d_h) \cdot t$

[Rechner öffnen ↗](#)

ex $5250\text{N} = 25\text{N/mm}^2 \cdot (70\text{mm} - 49\text{mm}) \cdot 10\text{mm}$



51) Breite der rechteckigen Platte mit Querloch bei gegebener Nennspannung ↗

fx

$$w = \frac{P}{t \cdot \sigma_o} + d_h$$

[Rechner öffnen ↗](#)

ex

$$84\text{mm} = \frac{8750\text{N}}{10\text{mm} \cdot 25\text{N/mm}^2} + 49\text{mm}$$

52) Dicke einer rechteckigen Platte mit Querloch bei Nennspannung ↗

fx

$$t = \frac{P}{(w - d_h) \cdot \sigma_o}$$

[Rechner öffnen ↗](#)

ex

$$16.66667\text{mm} = \frac{8750\text{N}}{(70\text{mm} - 49\text{mm}) \cdot 25\text{N/mm}^2}$$

53) Durchmesser des Querlochs einer rechteckigen Platte mit Spannungskonzentration bei gegebener Nennspannung ↗

fx

$$d_h = w - \frac{P}{t \cdot \sigma_o}$$

[Rechner öffnen ↗](#)

ex

$$35\text{mm} = 70\text{mm} - \frac{8750\text{N}}{10\text{mm} \cdot 25\text{N/mm}^2}$$



54) Nennzugsspannung in einer rechteckigen Platte mit Querloch ↗

fx

$$\sigma_o = \frac{P}{(w - d_h) \cdot t}$$

Rechner öffnen ↗

ex

$$41.66667 \text{ N/mm}^2 = \frac{8750 \text{ N}}{(70 \text{ mm} - 49 \text{ mm}) \cdot 10 \text{ mm}}$$

Runder Schaft gegen schwankende Belastungen ↗

55) Biegemoment in einer runden Welle mit Schulterkehle bei Nennspannung ↗

fx

$$M_b = \frac{\sigma_o \cdot \pi \cdot d_{\text{small}}^3}{32}$$

Rechner öffnen ↗

ex

$$14313.88 \text{ N*mm} = \frac{25 \text{ N/mm}^2 \cdot \pi \cdot (18 \text{ mm})^3}{32}$$

56) Kleinerer Durchmesser des runden Schafts mit Schulterkehle bei Zug oder Druck ↗

fx

$$d_{\text{small}} = \sqrt{\frac{4 \cdot P}{\pi \cdot \sigma_o}}$$

Rechner öffnen ↗

ex

$$21.11004 \text{ mm} = \sqrt{\frac{4 \cdot 8750 \text{ N}}{\pi \cdot 25 \text{ N/mm}^2}}$$



57) Nennbiegespannung im runden Schaft mit Schulterkehle ↗

fx $\sigma_o = \frac{32 \cdot M_b}{\pi \cdot d_{small}^3}$

[Rechner öffnen ↗](#)

ex $24.45179 \text{ N/mm}^2 = \frac{32 \cdot 14000 \text{ N*mm}}{\pi \cdot (18 \text{ mm})^3}$

58) Nenntorsionsspannung in runder Welle mit Schulterkehle ↗

fx $\sigma_o = \frac{16 \cdot (M_t t)}{\pi \cdot d_{small}^3}$

[Rechner öffnen ↗](#)

ex $24.88843 \text{ N/mm}^2 = \frac{16 \cdot 28500 \text{ N*mm}}{\pi \cdot (18 \text{ mm})^3}$

59) Nennzugsspannung im runden Schaft mit Schulterkehle ↗

fx $\sigma_o = \frac{4 \cdot P}{\pi \cdot d_{small}^2}$

[Rechner öffnen ↗](#)

ex $34.38533 \text{ N/mm}^2 = \frac{4 \cdot 8750 \text{ N}}{\pi \cdot (18 \text{ mm})^2}$



60) Torsionsmoment in einer runden Welle mit Schulterkehle bei Nennspannung ↗

fx
$$(M_t t) = \frac{\tau_o \cdot \pi \cdot d_{\text{small}}^3}{16}$$

[Rechner öffnen ↗](#)

ex
$$22902.21 \text{N} \cdot \text{mm} = \frac{20 \text{N/mm}^2 \cdot \pi \cdot (18 \text{mm})^3}{16}$$

61) Zugkraft im runden Schaft mit Schulterkehle bei Nennspannung ↗

fx
$$P = \frac{\sigma_o \cdot \pi \cdot d_{\text{small}}^2}{4}$$

[Rechner öffnen ↗](#)

ex
$$6361.725 \text{N} = \frac{25 \text{N/mm}^2 \cdot \pi \cdot (18 \text{mm})^2}{4}$$



Verwendete Variablen

- **a_e** Hauptachse des elliptischen Risses (*Millimeter*)
- **b_e** Kleinere Achse des elliptischen Risses (*Millimeter*)
- **b_k** Breite des Schlüssels im runden Schaft (*Millimeter*)
- **C** Verhältnis der Wellenfestigkeit mit und ohne Keilnut
- **d** Durchmesser der Welle mit Keilnut (*Millimeter*)
- **d_h** Durchmesser des Querlochs in der Platte (*Millimeter*)
- **d_o** Kleinere Plattenbreite (*Millimeter*)
- **d_{small}** Kleinerer Schaftdurchmesser mit Hohlkehle (*Millimeter*)
- **f_s** Designfaktor der Sicherheit
- **h** Höhe der Wellennut (*Millimeter*)
- **K_a** Oberflächenbeschaffenheitsfaktor
- **K_b** Größenfaktor
- **K_c** Zuverlässigkeitsfaktor
- **K_d** Modifizierender Faktor für die Stresskonzentration
- **k_f** Ermüdungsstress-Konzentrationsfaktor
- **k_t** Theoretischer Spannungskonzentrationsfaktor
- **m** Steigung der modifizierten Goodman-Linie
- **M_b** Biegemoment auf runder Welle (*Newton Millimeter*)
- **M_{ba}** Amplitude des Biegemoments (*Newton Millimeter*)
- **M_{bm}** Mittleres Biegemoment (*Newton Millimeter*)
- **M_t** Torsionsmoment auf Rundwelle (*Newton Millimeter*)



- **P** Auf eine flache Platte laden (Newton)
- **P_a** Kraftamplitude für schwankende Belastung (Newton)
- **P_m** Mittlere Kraft für fluktuierenden Stress (Newton)
- **q** Kerbempfindlichkeitsfaktor
- **S_a** Grenzwert der Spannungsamplitude (Newton pro Quadratmillimeter)
- **S_e** Ausdauergrenze (Newton pro Quadratmillimeter)
- **S'_e** Belastbarkeitsgrenze der Probe mit rotierendem Strahl (Newton pro Quadratmillimeter)
- **S_{ea}** Belastbarkeitsgrenze für axiale Belastung (Newton pro Quadratmillimeter)
- **S_m** Grenzwert der Mittelspannung (Newton pro Quadratmillimeter)
- **S_{e_n}** Dauerhaltbarkeitsgrenze der gekerbten Probe (Newton pro Quadratmillimeter)
- **S_{e_{nf}}** Haltbarkeitsgrenze der kerbfreien Probe (Newton pro Quadratmillimeter)
- **t** Dicke der Platte (Millimeter)
- **w** Breite der Platte (Millimeter)
- **σ** Theoretischer Stress (Newton pro Quadratmillimeter)
- **σ_a** Spannungsamplitude für schwankende Last (Newton pro Quadratmillimeter)
- **σ_{an}** Erhöhung der tatsächlichen Spannung über der Nennspannung (Newton pro Quadratmillimeter)
- **σ_m** Mittlere Spannung bei schwankender Belastung (Newton pro Quadratmillimeter)
- **σ_{max fl}** Maximaler Spannungswert für schwankende Last (Newton pro Quadratmillimeter)



- σ_{\max} Maximale Spannung an der Rissspitze (*Newton pro Quadratmillimeter*)
- $\sigma_{\min \text{ fl}}$ Mindestspannungswert für schwankende Belastung (*Newton pro Quadratmillimeter*)
- σ_{\min} Minimale Spannung an der Rissspitze (*Newton pro Quadratmillimeter*)
- σ_0 Nennspannung (*Newton pro Quadratmillimeter*)
- σ_{tn} Erhöhung der theoretischen Spannung über die Nennspannung (*Newton pro Quadratmillimeter*)
- σ_{ut} Ultimative Zugfestigkeit (*Newton pro Quadratmillimeter*)
- σ_{yt} Zugfestigkeit bei wechselnder Belastung (*Newton pro Quadratmillimeter*)
- $\sigma_{a\max}$ Höchster Wert der tatsächlichen Spannung in der Nähe der Diskontinuität (*Newton pro Quadratmillimeter*)
- T_0 Nenntorsionsspannung für schwankende Last (*Newton pro Quadratmillimeter*)



Konstanten, Funktionen, verwendete Messungen

- **Konstante:** pi, 3.14159265358979323846264338327950288
Archimedes' constant
- **Funktion:** sqrt, sqrt(Number)
Square root function
- **Messung:** Länge in Millimeter (mm)
Länge Einheitenumrechnung ↗
- **Messung:** Macht in Newton (N)
Macht Einheitenumrechnung ↗
- **Messung:** Drehmoment in Newton Millimeter (N*mm)
Drehmoment Einheitenumrechnung ↗
- **Messung:** Betonen in Newton pro Quadratmillimeter (N/mm²)
Betonen Einheitenumrechnung ↗



Überprüfen Sie andere Formellisten

- Design gegen schwankende Belastung Formeln 
- Konstruktion von Kegelrädern Formeln 
- Design von Kettenantrieben Formeln 
- Design der Splintverbindung Formeln 
- Design der Kupplung Formeln 
- Design des Schwungrads Formeln 
- Design von Reibungskupplungen Formeln 
- Design von Schrägverzahnungen Formeln 
- Design von Schlüsseln Formeln 
- Design des Knöchelgelenks Formeln 
- Design des Hebels Formeln 
- Auslegung von Druckbehältern Formeln 
- Design von Wellen Formeln 
- Design von Gewindefestigungen Formeln 
- Kraftschrauben Formeln 
- Gewinneverbindungen Formeln 

Fühlen Sie sich frei, dieses Dokument mit Ihren Freunden zu TEILEN!

PDF Verfügbar in

[English](#) [Spanish](#) [French](#) [German](#) [Russian](#) [Italian](#) [Portuguese](#) [Polish](#) [Dutch](#)

12/14/2023 | 6:41:26 AM UTC

[Bitte hinterlassen Sie hier Ihr Rückkoppelung...](#)

